OpenAI Math Digest

CATALOGUE 079

ユークリッド波動方程式の局所平滑化

総括・論文間のつながりと2篇の証明概説

独立した非公式の読解ガイド・日本語版

収録版: 2026-10-28
制作: Masataka Iwai・大阪大学

> AI生成の解説には誤りや不正確な説明が含まれる可能性があります。重要な主張・証明は原論文でご確認ください。本冊子はWebサイトの解説をまとめたもので、原論文そのものではありません。専門家査読・形式検証は未実施です。

目次

総括に続き、公式カタログ順で全2篇の解説を収録しています。目次・引用はクリックできます。横長の表は紙面向けの項目一覧に組み直し、主張と参照先を保持しています。

00 · カタログ079 総括 3

01 · Local smoothing for the Euclidean wave equation 8

02 · Critical local smoothing for the three-dimensional wave equation 26

原論文の参照版: `7ef5c0cc5ca4b0e072b7a050fca09ab24bc6fa3a`

カタログ079 · 総括

Web版を読む ↗

CATALOGUE 079

ユークリッド波動方程式の局所平滑化

Local smoothing for the Euclidean wave equation

公式カタログ079 Local smoothing for the Euclidean wave equation は、全次元の行列式エネルギーによる原稿と、三次元の波束・エントロピーによる原稿の2本を収録する。同じ三次元局所平滑化の結論へ異なる方法で到達し、第1論文は定量的な対数評価と多くの解析的・幾何学的帰結も主張する。

1. 公式順の記事一覧

主結果の範囲を短くまとめています。正確な仮定と定式化は併記した原典の結果を参照してください。

カタログ 079 · 2026-10-28 確認の固定参照版

#

01

論文・概説

Local smoothing for the Euclidean wave equation →

図中の略称: Local smoothing for the Euclidean wave equation
October 25, 2026 · 59 ページ

原論文（GitHub） ↗

主に何を主張するか

全 $n \geq 2$ の半波動局所平滑化。臨界 $p_c = 2n/(n-1)$ のannulusで $[\log(2+N)]^{2/p_c}$、全 $2 \leq p < \infty$ で $s_+(p) + \varepsilon$。

Theorems 1.1–1.2 · pp. 1, 4 ↗

議論の役割・概説

保存流・rank 1背景の行列式エネルギー・二円環比較。BR、restriction、Schrödinger、Kakeya/Nikodymへの分岐を解説。

証明概説を読む →

#

02

論文・概説

Critical local smoothing for the three-dimensional wave equation →

図中の略称: Critical local smoothing for the three-dimensional wave equation
September 24, 2026 · 165 ページ

原論文（GitHub） ↗

主に何を主張するか

三次元半波動の臨界 L^3 時空評価を任意の正のSobolev損失で示す。全 $2 < p < \infty$、$\alpha > \max\{0, 1 - 3/p\}$ を帰結。

Theorem 1.1 · p. 1; Corollary 10.6 · p. 158 ↗

議論の役割・概説

円筒模型の極値配置と位相記録のエントロピーによる経路。薄いround配置の移送と物理初期面の正則性を接続。

証明概説を読む →

2. 二つの結果範囲と証明方法

$J = (1 - \Delta)^{1/2}$、時間区間 $[1, 2]$ とする。半波動の符号は複素共役で移せるため、比較上の差ではない。

比較項目

対象次元・主結果

Local smoothing for the Euclidean wave equation

全 $n \geq 2$、$2 \leq p < \infty$、Sobolev次数 $\max\{0, (n-1)/2 - n/p\} + \varepsilon$。$p = 2$ は無損失

Critical local smoothing for the three-dimensional wave equation

$n = 3$、$p = 3$、任意の $\varepsilon > 0$。Corollary 10.6で全 $2 < p < \infty$、次数 $\alpha > \max\{0, 1 - 3/p\}$

比較項目

臨界周波数環

Local smoothing for the Euclidean wave equation

$p_c = 2n/(n-1)$ で $[\log(2+N)]^{2/p_c}$。一般データの最適な対数冪は確定していない

Critical local smoothing for the three-dimensional wave equation

任意の正の冪損失。$\varepsilon = 0$ を扱わず、対数冪の精密化は主張しない

比較項目

主要な帰着

Local smoothing for the Euclidean wave equation

波の干渉を保存した正の流→rank 1背景のDirichlet行列式→境界flux→二つの円環比較

Critical local smoothing for the three-dimensional wave equation

薄いround配置→円筒模型、極値配置→位相記録のエントロピー矛盾→物理初期面の正則性

比較項目

解析的な帰結

Local smoothing for the Euclidean wave equation

全次元BR・BR最大・Stein平方関数、球面/切断円錐/コンパクト放物面extension、Schrödinger混合ノルム

Critical local smoothing for the three-dimensional wave equation

三次元半波動最大関数、BR最大・収束と固定半径BRの全strict範囲

第1論文の $n = 3$ 特殊化は第2論文のTheorem 1.1とCorollary 10.6の局所平滑化の結論を包含する。これは**結果範囲の包含**である。本文・参考文献を調べた範囲で、第1論文が第2論文を証明入力として使う引用・適用は確認しなかった。第2論文の円筒模型の定量的入力はGuth–Wang–Zhangのwave-envelope定理とRen–Wangの平面Furstenberg定理であり、行列式エネルギー法の中間結果と混ぜない。

[OpenAI26EW, Theorem 1.1, p. 1] [OpenAI26EW, Theorem 1.2, p. 4] [OpenAI26CW, Theorem 1.1, p. 1] [OpenAI26CW, Corollary 10.6, p. 158]

全次元の臨界対数評価の証明へ / 三次元の原稿と模型への帰着へ

3. 局所平滑化から何が導かれるか

第1論文では二種類の接続を区別する。周波数環の対数を保つ接続は局所球面extensionと管の最大評価で、後者には対数冪 $4/p_c$ が残る。大域restrictionの内点範囲、BRの厳密な次数範囲、平方関数は微小損失を吸収する。Schrödingerでは d 空間次元の臨界 $p_c = 2(d+1)/d$ に対数を残す一方、$p > p_c$、$p \le r \le \infty$ では正確な混合ノルム次数 $d(1-2/p) - 2/r$ に進む。

[OpenAI26EW, Corollaries 9.1, 9.3, 12.1; Theorems 10.1, 11.1, pp. 27–29, 32, 34, 37]

第2論文の半波動最大関数は $3 \le p < \infty$、$s > 1 - 2/p$ を要し、時空局所平滑化より時間Sobolev埋込みの費用が増える。BR最大評価の主張は $3 \le p < \infty$、$\delta > 1 - 3/p$。固定半径BRの全 $1 \le p \le \infty$ への補間・双対性を、最大関数へ転用してはいない。球面restrictionとKakeya最大評価は§11.1で外部の標準的連鎖として記載されているが、今回の第2記事ではその外部連鎖の全入力照合を済ませた扱いにしない。

[OpenAI26CW, Corollary 10.7, Theorem 11.1, Corollary 11.2, Section 11.1, pp. 160–162]

第1論文の各帰結の条件と導出 / 第2論文の最大関数・BR帰結

4. 074のKakeya原稿との関係

第1論文p. 27は、074の The Kakeya maximal conjecture in three dimensions のTheorem 1.1（$L^3(\mathbb{R}^3) \to L^3(S^2)$、任意の $\delta^{-\varepsilon}$ 損失）と、Every Four-Dimensional Kakeya Set Has Full Hausdorff Dimension のTheorem 1.1を比較として引用する。本稿の $n = 3$ の管最大評価は固定対数冪 $[\log(2/\delta)]^{4/3}$ を与え、$n = 4$ では任意のKakeya集合にHausdorff次元4を与える。これらは同じ対象の結論の比較であり、074の結果を入力として全次元の波動定理を証明しているわけではない。

[OpenAI26EW, Section 9, comparison with references [62]–[63], p. 27]　[OpenAI26a, Theorem 1.1, p. 2]
[OpenAI26b, Theorem 1.1, p. 3]

第1論文は管の最大評価から可変半径の被覆を経てHausdorff次元を導く。四次元の集合次元定理だけから四次元Kakeya最大関数評価を取り出す逆向きの接続は置かない。第2論文では074の2原稿への直接引用を確認していない。

077の Elliptic capacity propagation and Fourier restriction to the sphere は第1論文p. 29の比較、078の Bochner–Riesz multipliers in three dimensions は第2論文p. 162の別証明への言及である。後者は原稿自身が入力でないと明記しており、074とは別に扱う。

[OpenAI26EW, Section 9.1, comparison with reference [64], p. 29]
[OpenAI26CW, Proof of Corollary 11.2, comparison with reference [20], p. 162]

5. 原典・確認範囲

引用キーは[OpenAI26EW]が第1論文（October 25, 2026）、[OpenAI26CW]が第2論文（September 24, 2026）、[OpenAI26a]が074の三次元最大関数原稿（September 23, 2026）、[OpenAI26b]が074の四次元集合次元原稿（September 24, 2026）。いずれも著者OpenAI、固定commit `7ef5c0cc5ca4b0e072b7a050fca09ab24bc6fa3a` の原典を参照する。公式分野は Real and complex analysis、overviewではpp. 9–10、079はp. 9。

OpenAI Research Catalog · Catalogue 079 · p. 9

両記事の主要主張、証明の核心の帰着、日英の条件対応を原典と照合した範囲を各記事末尾に記録した。第1論文のTheorem A.1に直接使うGilbarg–Trudingerの正則性定理は、初稿後に別担当が原書誌面の記述・適用仮定を照合し、初稿時の未確認を解消した。これは外部定理の証明自体や全境界計算の独立再検証ではない。第2論文の長い条件付き情報量・模型変換の全補題、および各論文の全証明を独立に検証したものではない。未確認の接続を「依存なし」とせず、確認済みの結果比較とも分けている。

079 / 01

Web版を読む ↗

CATALOGUE 079 · PAPER 01 / 2 概説

Local smoothing for the Euclidean wave equation

保存流の行列式エネルギーから臨界対数評価へ、さらにrestrictionと最大評価へ

本原稿は全空間次元 $n \geq 2$ のユークリッド半波動について、臨界指数 $p_c = 2n/(n-1)$ で周波数環ごとの対数評価を主張する。核心は方向別の二乗和ではなく、波の重ね合わせを保持した正の保存流を作り、その時間成分を四元数HessianのDirichlet問題へ入力する点にある。以下は原稿の主張と帰着の解説であり、全証明の独立検証ではない。

原稿の著者: OpenAI · October 25, 2026 · 59 ページ（参考文献を含む）

GitHubで原稿を読む ↗

1. 主要結果

$U(T) = e^{-iT|D|}$、$I = [1,2]$、$J = (1-\Delta)^{1/2}$、$s_+(p) = \max\{0, (n-1)/2 - n/p\}$ とする。波動の初期データは複素Schwartz関数で、表示した空間ノルムに関して稠密性で拡張する。定数は表示した次元・指数・固定cutoff・時間区間に依存し、データや大きな周波数には依存しない。

Theorem 1.1 — 波動の局所平滑化

$n \geq 2$、$2 \leq p < \infty$、$\varepsilon > 0$ に対し

$$\|U(T) f\|_{L^p(\mathbb{R}^n \times I)} \leq C_{n,p,\varepsilon} \|J^{s_+(p)+\varepsilon} f\|_{L^p(\mathbb{R}^n)}.$$

$p = 2$ では $\varepsilon = 0$ とできる。$p \geq p_c$ では固定時刻の必要正則性 $(n-1)(1/2 - 1/p)$ から $1/p$ 未満の任意の改善、$2 < p < p_c$ では任意の正の正則性を得る。$p > 2$ の無損失Sobolev端点を主張した定理ではない。

Theorem 1.1 · p. 1

Theorem 1.2 — 臨界周波数環の対数評価

$n \geq 2$、$p = p_c$、$\varphi \in C_c^\infty(\mathbb{R}^n \setminus \{0\})$、$N \geq 2$、$P_N = \varphi(D/N)$ に対し

$$\|U(T) P_N f\|_{L^p(\mathbb{R}^n \times I)} \leq C_{n,\varphi} [\log(2+N)]^{2/p} \|f\|_{L^p(\mathbb{R}^n)}.$$

これは全周波数を一様定数で扱う $L^{p_c} \to L^{p_c}_{T,X}$ 評価ではない。Proposition 8.1の集束例が対数冪 $1/p_c$ 以上を必要とするため、本稿の一般データに対する上界 $2/p_c$ との間には余地が残る。Proposition 8.2は $2 < p \leq p_c$ でSobolev次数ゼロが弱時空ノルムでも不可能であることを主張する。

Theorem 1.2 · p. 4　Propositions 8.1–8.2 · pp. 26–27

Corollary 9.1 — 局所球面extensionとKakeya最大評価

$Eg(X) = \int_{S^{n-1}} e^{iX\cdot\omega} g(\omega)\, d\sigma(\omega)$ とし、$K_\delta f(\omega)$ は方向 ω の長さ1・半径 δ の管上の $|f|$ の平均を位置全体で最大化したものとする。$n \geq 2$、$R \geq 2$、$z \in \mathbb{R}^n$、$0 < \delta \leq 1$ に対し

$$\|Eg\|_{L^{p_c}(B(z,R))} \leq C_n [\log(2+R)]^{2/p_c} \|g\|_{L^{p_c}(S^{n-1})},$$

$$\|K_\delta f\|_{L^n(S^{n-1})} \leq C_n [\log(2/\delta)]^{4/p_c} \|f\|_{L^n(\mathbb{R}^n)}.$$

特に、各方向に単位線分を含む任意の集合はHausdorff次元 n を持つ。最大関数評価と集合次元の結論は別の主張であり、後者には可変半径の被覆の議論が必要になる。

Corollary 9.1 · p. 27

Corollary 9.3 — 球面・切断円錐の大域extension

$1 < a \leq \infty$、$b < \infty$、a' を共役指数とし、

$$b > \frac{2n}{n-1}, \qquad b > \frac{n+1}{n-1} a'$$

とする。球面extension E と、誘導面積測度を備えた
$\Sigma = \{(\rho\omega, \rho) : 1 \leq \rho \leq 2,\ \omega \in S^{n-1}\} \subset \mathbb{R}^{n+1}$ のextension E_Σ について

$$\|Eg\|_{L^b(\mathbb{R}^n)} \lesssim_{n,a,b} \|g\|_{L^a(S^{n-1})}, \qquad \|E_\Sigma G\|_{L^b(\mathbb{R}^{n+1})} \lesssim_{n,a,b} \|G\|_{L^a(\Sigma)}.$$

$a = \infty$ を含む強型評価である。$b = \infty$ なら両者とも $1 \leq a \leq \infty$ で成り立つ。有限の b に課す二つの厳密不等式の境界はここに含めない。

Corollary 9.3 · pp. 28–29

Theorem 10.1 — Bochner–Riesz平均・最大関数・収束

$B_r^\alpha = (1-|D|^2/r^2)_+^\alpha$、$B_*^\alpha f = \sup_{r>0}|B_r^\alpha f|$、$\delta(p)=\max\{0, n|1/p-1/2|-1/2\}$ とする。$n\ge 2$、$1\le p\le\infty$、$\alpha>\delta(p)$ なら

$$\sup_{r>0}\|B_r^\alpha f\|_p \le C_{n,p,\alpha}\|f\|_p.$$

$p<\infty$ なら $r\to\infty$ で $B_r^\alpha f\to f$ in L^p。さらに $2\le p<\infty$、$\alpha>s_+(p)$ では

$$\|B_*^\alpha f\|_p \le C_{n,p,\alpha}\|f\|_p,$$

かつほとんど至る所で $B_r^\alpha f\to f$。固定半径評価の $1\le p<2$ の範囲を最大評価へ移してはいない。

Theorem 10.1 · p. 32

Theorem 11.1 — Stein平方関数

$$G^\alpha f(x)=\left(\int_0^\infty |r\partial_r B_r^\alpha f(x)|^2\frac{dr}{r}\right)^{1/2}.$$

$n\ge 2$、$2\le p<\infty$、$\alpha>\max\{1/2, n(1/2-1/p)\}=1/2+s_+(p)$ に対して $\|G^\alpha f\|_p\le C_{n,p,\alpha}\|f\|_p$。Schwartzデータから L^p への拡張も結論に含む。

Theorem 11.1 · p. 34

Corollary 12.1 — コンパクト放物面とSchrödinger局所平滑化

ここだけ空間次元を $d\ge 1$、$p_c=2(d+1)/d$ とし、B^d は単位球、$\mathcal{E}g(x,t)=\int_{B^d} e^{i(x\cdot v+t|v|^2)}g(v)\,dv$ とする。

$1<a\le\infty$、$p_c<b<\infty$、$b>(d+2)a'/d$ なら

$$\|\mathcal{E}g\|_{L^b(\mathbb{R}^{d+1})}\lesssim_{d,a,b}\|g\|_{L^a(B^d)}.$$

コンパクト時間区間 $I\subset\mathbb{R}$、$N\ge 2$、$\operatorname{supp}\widehat{f}\subset B(0,N)$ のSchwartz関数に対して

$$\|e^{it\Delta}f\|_{L^{p_c}(\mathbb{R}^d\times I)}\lesssim_{d,I}[\log(2+N)]^{2/p_c}\|f\|_{p_c}.$$

さらに $p_c<p<\infty$、$p\le r\le\infty$、任意のSchwartzデータについて、$s=d(1-2/p)-2/r$ とおけば

$$\|e^{it\Delta}f\|_{L^p(\mathbb{R}^d;L^r(I))}\lesssim_{d,p,r,I}\|f\|_{B^s_{p,p}(\mathbb{R}^d)}\lesssim_{d,p,s}\|(1-\Delta)^{s/2}f\|_p.$$

> $r = p$ では正確な時空Sobolev次数 $d - 2(d+1)/p$、$r = \infty$ では同じ有限時間区間上の最大評価になる。これは $p = p_c$ における対数なし評価を含まない。
>
> Corollary 12.1 · p. 37

図の矢印に付した引用

略号のない定理・補題・節・式番号は本原稿 Local smoothing for the Euclidean wave equation を指します。外部入力には次の略号を使います。

- Tao99 Terence Tao — The Bochner-Riesz conjecture implies the restriction conjecture：球面の局所restrictionから大域評価への微小損失除去。Author-hosted undated preprint; accessed October 28, 2026 (DVI converted to PDF)。
- Kim17 Jongchon Kim — Some remarks on Fourier restriction estimates：Fourier減衰を持つコンパクト曲面の微小損失除去。arXiv:1702.01231v2, February 9, 2017。
- LRS13 Sanghyuk Lee, Keith M. Rogers, Andreas Seeger — On space-time estimates for the Schrödinger operator：対角extensionから正確なBesov次数の混合ノルム評価。arXiv:1108.1518v2, March 19, 2012; published 2013。
- GT01 David Gilbarg, Neil S. Trudinger — Elliptic Partial Differential Equations of Second Order：周期fiberのDirichlet可逆性と境界/内部正則性への直接入力。Theorems 6.14（誌面107頁）、6.19（111頁）、17.14（461頁）、17.26′（481頁）と構造条件（456頁）を初稿後の別担当が照合。外部証明自体は未検証。Classics in Mathematics, Springer, 2001; reprint of the 1998 edition (bibliography [31] of the manuscript)。

各引用に結果番号とページを付します。誌面番号とPDF内の位置が異なる場合は両方を示します。GitHubの閲覧リンクではページ位置への自動移動を前提としません。

2. Theorem 1.1 の証明 — 臨界周波数環から全指数へ

証明対象：Theorem 1.1 · p. 1

証明の道筋。 Theorem 1.2を先に得て、L^2保存と固定時刻の L^∞ 核評価を両側から補間する。最後に ε を周波数和へ使う。次節が臨界評価そのものの核心を扱う。



臨界評価の補間とSobolev和

図を拡大 ↗　TeXソース ↓

1. 二つの端の補間

$h = N^{-1}$ とすると、$L^2_X \to L^2_{T,X}$ はPlancherelにより一様、$L^\infty_X \to L^\infty_{T,X}$ は $O(h^{-(n-1)/2})$。後者は幅 $h^{1/2}$ のcapへ分け、線形位相を除いた各核の L^1 ノルムを一様に抑えて得る。Riesz–Thorin補間によって

$$\|UP_h f\|_{L^p_{T,X}} \lesssim h^{-s_+(p)} [\log(2/h)]^{\beta(p)} \|f\|_p, \quad \beta(p) = \min\{(n-1)(1-2/p), 2/p\}.$$

Section 7.2, (7.3) · pp. 24–25

2. 微小損失を和へ使う

$g = J^{s_+(p)+\varepsilon} f$ とおくと第 j 周波数環の係数は $2^{-j\varepsilon}(1+j)^{\beta(p)}$ で可算和が収束する。低周波はMihlin、$p = 2$ は直接Plancherelで処理する。Corollary 7.1はこの和を精密化し、$B > \beta(p) + 1/2 - 1/p$（または等号と追加の二重対数条件）の対数Sobolev評価を与えるが、$B = C = 0$ を一般には得ていない。

Section 7.2, Corollary 7.1 · pp. 25–26

3. Theorem 1.2 の証明 — 保存流と二つの円環比較

証明対象：Theorem 1.2 · p. 4

証明の道筋。 固定トーラス上でcapの波を保存流に持ち上げ、空間fiber上の行列式方程式から p_c 乗を検出するエネルギーを作る。境界のGaussian減衰により非負のscalar supersolutionを得て、二つの円環比較を通した後に周期を除く。



保存流から臨界対数評価まで

図を拡大 ↗　TeXソース ↓

1. 干渉を保持して臨界冪を作る

対称一次系の二つの補助流から $A_0 = \chi\chi^*$ を作る。χ は各波をGaussian重み付きで**加えた後**のベクトルであり、実表示の各列は発散ゼロ、$(\partial\Phi)A_0 = 0$。周波数 $N = h^{-1}$、固定小capに対し、補助変数の半径が h 程度なら時間成分から元の波を回収できる。

fiberの定義関数 r は $H_{\mathrm{fib}}(r) > 0$ を満たす。一方、全Hessian $H(r)$ のnull lineは境界法線にも $H(|\Phi|^2)$ にも直交する。平滑化・cutoff後の流に小さいcofactorを加えて $\mu = A_{TT} > 0$ とし、$B_0 = \lambda|\Phi|^2$、$\lambda = h^{-30n}$ に対して

$$\det H_{\mathrm{fib}}(B_0 + u) = \lambda\mu, \qquad u|_{\partial\Omega_z} = 0, \qquad H_{\mathrm{fib}}(B_0 + u) > 0$$

を解く。Theorem A.1の正の定義Hessian・正の密度gapをここで満たす。背景の空間Hessianはrank 1なので $\det(B_{\mathrm{fib}} + \alpha I) = (\beta + \alpha)\alpha^{n-1}$、$\beta \asymp \lambda$。小球上の密度下界 m が $-u \gtrsim h^2 m^{1/(n-1)}$ を生み、$(-u)\mu$ が $m^{n/(n-1)}$、したがって波の $2n/(n-1)$ 乗を検出する。

Proposition 2.2, (2.15), Lemma 4.1 · pp. 9–10, 14　Section 4.2, Theorem A.1 · pp. 15, 38–41

2. 不定符号の行列式を消し、境界だけを残す

$X_0 = \int_{\Omega_z}(-u)\mu$ のLaplacianには符号不定の全行列式が残る。そこで

$$F = X_0 + \lambda^{-1}\int_{\Omega_z} u \int_0^1 \det H_{\mathrm{fib}}(B_0 + \theta u)\, d\theta$$

と修正する。流とHessian cofactorの二つの保存則による部分積分で、全行列式が相殺する。cofactorの法線–法線成分は上のnull lineによりゼロで、移動境界でも余計なcofactor fluxは出ない。Proposition 4.2では $\Delta F + \int A : \Sigma$ が波の境界fluxに等しく、$A, \Sigma \geq 0$。Lemma 4.3が

$$\frac{n-1}{n+1} X_0 \leq F \leq \frac{n}{n+1} X_0$$

を与え、修正後も必要な量を失わない。

Proposition 4.2, Lemma 4.3 · pp. 16–18

3. 境界減衰と内部回収を比較する

$z = (T, \tau) \in \mathbb{R} \times \mathbb{R}^2$、$a = Kh$ とする。壁でfluxを持つ領域は波のcap方向から一定距離離れ、Gaussianは $e^{-c_0|\tau|/h}$ で減衰する。内部回収の逆乗数の費用は $e^{C\gamma^2|\tau|/h}$。先にcap幅 γ を小さくし、次に固定 K を大きくして、前者が勝つようにする。比較関数と小球の行列式比較を組み合わせ、Proposition 5.1は

$$F(0,\tau) \lesssim a^2 \|f\|_{p_c}^{p_c} \ (|\tau| = 4a), \qquad F(T,\tau) \gtrsim a^2 \|U(T)f\|_{p_c}^{p_c} \ (|\tau| = 2a),$$

$$\Delta_{T,\tau} F \leq V(|\tau|) F, \qquad V(s) = Cs^{-2} e^{-cs/h}$$

を与える。ここで小球における密度の下限と背景の上限 $\mu^{1/(n-1)} \leq \lambda$ が比較に必要になる。

Proposition 5.1, (5.11)–(5.12) · pp. 18–21

4. 二つの対数を追い、周期を除く

$H(T,s)$ を F の $|\tau|=s$ の円周平均とする。Lemma 6.1は $b=2a$、$r=2b$ で

$$H(0,2b)\gtrsim[\log(3/b)]^{-2}\int_1^2 H(T,b)\,dT.$$

外向きの円環比較、固定半径での平均値不等式、内向きの円環比較を使う。二次元の調和関数が $\log s$ に一次なので各通過が一つの逆対数を費やす。正のpotentialの重み付き積分は指数減衰により一様に有界。両側の a^2 を消して p_c 乗根を取り、Proposition 6.3を得る。有限個の固定capを加え、$|X|\geq 3$ の波の核を非停留位相で $O(h^M(1+|X|)^{-M})$ と抑え、単位cubeの局所周期化と有限重複を使って $\mathbb{R}^n$ へ移す。

Lemma 6.1, Proposition 6.3 · pp. 21–23　Section 7.1 · p. 24

4. Corollary 9.1 の証明 — 波の集束から管と集合次元へ

証明対象：Corollary 9.1 · p. 27

証明の道筋。 対数冪を A と記しておくと、局所球面extensionには A、管の重なりとKakeya最大関数には $2A$ が残る。本稿では $A=2/p_c$。



球面extension、管の最大関数、集合次元

図を拡大 ↗　TeXソース ↓

1. 集束により局所extensionを回収する

$M_N f = \int \psi(T) e^{iNT} U(T) \chi(|D|/N) f \, dT$ は厚さ1の周波数shellを選ぶ。その核の主要項は $cN^{(n-1)/2}|Z|^{-(n-1)/2} e^{iN|Z|} \psi(|Z|)$。$f_N(r\omega) = e^{-iNr}\psi(r) g(\omega)$ を入れ、集束付近 X/N で距離位相を線形化する。N を R の十分大きい固定冪に取れば誤差は有界で、$n/p_c = (n-1)/2$ がスケール係数を消す。従って $\log N \asymp \log R$ の損失だけが残る。

Lemma 9.2 · p. 28

2. capの符号を無作為化し最大関数を双対化する

互いに素な δ-capを位置に応じてmodulateすると、長さ δ^{-2}・幅 δ^{-1} の管上でextensionが下から抑えられる。独立符号を付けると二乗の期待値は各capのextensionの二乗和になり、それを対応する管の指示関数の重み付き和で下から抑える。これと局所extension評価から、$q = p_c/2 = n/(n-1)$ についてLemma 9.4の重なり評価を得る。位置ごとのcubeへの分割は無限遠の管配置にも一様な定数を与える。方向の δ-net、L^n–L^q 双対性、中心位置の上限からKakeya最大評価を得る。

Lemma 9.4, Section 9.3 · pp. 29–30

3. 可変半径被覆とNikodymへの射影変換

単一スケールでは $|F_\delta| \gtrsim [\log(1/\delta)]^{-2(n-1)}$ に留まり、Hausdorff次元には半径の異なる球を群分けする。§9.3は $\gamma > n-1$ に対し $r^n[\log(1/r)]^{2(n-1)}[\log\log(1/r)]^\gamma$ のHausdorff測度が無限であることまで示し、全次元を導く。

§9.4の $N_\delta f(x)$ は x を通る単位線分の管平均の最大値で、

$$\|N_\delta f\|_{L^n(\mathbb{R}^n)} \lesssim_n [\log(2/\delta)]^{4/p_c}\|f\|_{L^n(\mathbb{R}^n)}.$$

x から一定距離離れた線分片を射影変換すると、基点が方向に変わり、変換のJacobianは局所的に上下有界。基点近傍はdyadic距離 s ごとの重み $O(s)$ で足す。同じ被覆論法により、正測度の基点集合の各点から出る適切な単位線分と一様正長さだけ交わるBorel集合もHausdorff次元 n。集合次元だけから最大関数評価を逆に推論してはいない。

Sections 9.3–9.4, (9.6)–(9.7) · pp. 30–32

5. Corollary 9.3 の証明 — 微小損失除去と円錐の切片

証明対象：Corollary 9.3 · pp. 28–29

証明の道筋。 球面の局所対角評価から厳密に大きい出力指数の大域評価へ進み、補間で内点範囲を満たす。円錐はその球面切片を積分する。



球面の損失除去と切断円錐

図を拡大 ↗　TeXソース ↓

1. 損失を除去して指数を補間する

$[\log(2+R)]^A \lesssim_\varepsilon R^\varepsilon$ と双対性から局所 $L^{p_c'} \to L^{p_c'}$ restrictionを得る。$1 < p_c' < 2$ なので[Tao99]の微小損失除去が適用され、双対化して全 $s > p_c$ に $E : L^s \to L^s$。$a \geq b$ は球面の有限測度、$a < b$ は $s = 1 + b/a'$ として $L^1 \to L^\infty$ と補間する。$b > (n+1)a'/(n-1)$ が $s > p_c$ を保証する。

Section 9.1, proof of Corollary 9.3 · p. 29　[Tao99, Theorem 1.2, p. 2]

2. 円錐切片を積分する

$G_\rho(\omega) = G(\rho\omega, \rho)$ とすると $E_\Sigma G = \sqrt{2}\int_1^2 e^{it\rho}\rho^{n-1}E(G_\rho)(\rho x)\,d\rho$。時間のHausdorff–Young、$b \geq b'$ によるMinkowski、空間の拡大縮小を使う。最後の $L^{b'}_\rho$ を L^a_ρ で抑える条件は $a > b'$ で、上の仮定から満たされる。$b = \infty$ は両コンパクト曲面の定義積分に直接Hölderを適用する。

Section 9.1, proof of Corollary 9.3 · p. 29

6. Theorem 10.1 の証明 — 薄いshellの最大評価を加算する

証明対象：Theorem 10.1 · p. 32

証明の道筋。 単位周波数・長時間の波へ拡大縮小し、shellを波の時間平均として書く。shell厚の和を取った後、双対性と稠密性で全結論を得る。



薄いshellからBochner–Riesz評価と収束へ

図を拡大 ↗　TeXソース ↓

1. 時間平均の費用はshell厚の負冪

$\sigma > s_+(p)$、$2 \le p < \infty$ で、固定annulusの g に対し $\|U(t)g\|_{L^p(\mathbb{R}^n\times\{R\le|t|\le 2R\})} \lesssim R^{1/p+\sigma}\|g\|_p$。$A_{\delta,r} = \psi((1-|D|/r)/\delta)$ をFourier反転すると $\delta r\int e^{itr}\widehat{\psi}(\delta r t)U(t)g\,dt/(2\pi)$。時間Höldersと長時間評価から $r \in [1,2]$ の上限は $O(\delta^{-\sigma})$。全 r はdyadic octaveに分け、$p \ge 2$ のLittlewood–Paley評価で加える。

Lemma 10.2, (10.3) · pp. 32–33

2. 厳密な次数条件と三つの拡張

$s_+(p) < \sigma < \alpha$ を選び、B^α_r の境界付近をshell厚 $\delta = 2^{-j}$ に分解すると費用は $\sum_j \delta^{\alpha-\sigma}$。滑らかな残りはHardy–Littlewood最大関数で抑える。これが最大評価と $p \ge 2$ の固定半径評価を同時に与える。固定半径作用素の自己共役性により $1 < p < 2$、L^1 可積分なBessel核により $p = 1, \infty$ へ拡張する。コンパクトFourier台のSchwartzデータでの収束と稠密性が L^p 収束を与え、最大評価のある $2 \le p < \infty$ では r に一様なほとんど至る所の近似から点収束を得る。

Proof of Theorem 10.1 · p. 33

7. Theorem 11.1 の証明 — 平方ノルムを保って半径をまとめる

証明対象：Theorem 11.1 · p. 34

証明の道筋。 一つの半径区間で $\delta^{1/2}$ を回収し、Hilbert空間値の評価で全dyadic区間を平方ノルム内にまとめる。



shell平方評価からStein平方関数へ

図を拡大 ↗　TeXソース ↓

1. 微分・平方積分・局所平滑化の三つの冪

厚さ δ のshellで半径微分は $\delta^{\alpha-1}$、半径の平方積分は $\delta^{1/2}$、波は $\delta^{-\sigma}$ を与える。Lemma 11.2では半径変数のPlancherelと長時間波動評価を組み合わせ、$H = L^2([1,2], ds)$ に値を取るshell作用素を $L^p \to L^p(H)$ の $\delta^{1/2-\sigma}$ と $L^2 \to L^2(H)$ の $\delta^{1/2}$ で抑える。

Lemma 11.2 · p. 34

2. 異なる尺度を平方ノルム内で統合する

Lemma 11.3はHilbert空間値核とその一次微分の減衰の下でdyadic dilateをまとめる。検査cube上で中間の $O(1+\log(1/\delta))$ 尺度だけに L^p 評価を使い、そのHölder費用は $[1+\log(1/\delta)]^{1/2-1/p}$。遠い尺度には核の微分または L^2 を使う。$\sigma < \alpha - 1/2$ を選ぶと $\delta^{\alpha-1/2-\sigma}$ が対数費用も吸収する。境界か

ら離れた乗数は原点で二次消滅するため別の可算和になる。$p = 2$ では直接 $\|G^\alpha f\|_2^2 = \alpha(2\alpha-1)^{-1}\|f\|_2^2$。有限和からFatouと単調収束へ進み、線形な $L_x^p(L^2(dr/r))$ 作用素を稠密性で拡張する。

Lemma 11.3, proof of Theorem 11.1 · pp. 35–36

8. Corollary 12.1 の証明 — 放物面極限とFresnel変換

証明対象：Corollary 12.1 · p. 37

証明の道筋。 $n = d+1$ の球面capを放物面へ拡大し、臨界局所extensionの対数を保存する。そこから微小損失除去、Fresnel核、外部の混合ノルム定理という三つの出口を区別する。



放物面extensionからSchrödingerの三結論へ

図を拡大 ↗　TeXソース ↓

1. 放物面extensionの内点範囲

capを $(\delta v, \sqrt{1-\delta^2|v|^2})$ と書き、物理変数を $(x/\delta, -2t/\delta^2)$ に拡大する。新しい位相は $q_\delta(v) = 2(1-\sqrt{1-\delta^2|v|^2})/\delta^2 = |v|^2 + O(\delta^2)$。$p_c = 2(d+1)/d$ によりJacobianと入力の冪が相殺し、δ を R の負の固定冪に取ると局所放物面extension (12.4) に同じ $[\log(2+R)]^{2/p_c}$ が残る。[Kim17]のコンパクト曲面版の微小損失除去には、少し大きいpatchの滑らかな密度のFourier減衰を停留位相で与える。その後の双対性・補間が (12.1) の内点範囲を得る。

Proof of Corollary 12.1, (12.4) · pp. 36–37　[Kim17, Theorem 5.3, p. 10]

2. 臨界Schrödinger評価は周波数球に対する対数評価

周波数球 $B(0,N)$ のデータを辺長 N の空間cubeで局所化する。遠方は $S(t)P_N$ の非停留位相、近傍 $h = f1_{30Q}$ はFresnel核で $\mathcal{E}[g](-\lambda x/(2t), \lambda^2/(4t))$、$g(v) = h(\lambda v)$、$\lambda \asymp N$ と書く。切断が生んだ高周波を避けるため $P_N S(t) h$ として乗数を外側に保つ。$t \in [1/2, 1]$ のJacobianと入力normが $\lambda^{d-(2d+2)/p_c} = 1$ となり、(12.4)の対数のみが残る。cubeの有限重複と時間のdyadic分割・共役により任意のコンパクト I へ進む。

Proof of (12.2) · pp. 37–38

3. 臨界を超える指数では正確な混合ノルム次数

$p_c < a < p$ を選ぶと (12.1) は $\mathcal{E} : L^a \to L^a$ を与える。[LRS13, Corollary 1.2]を $p_0 = q_0 = a$、入力・出力空間指数とも p に適用すると、$p \le r \le \infty$ に対し正確な $s = d(1-2/p) - 2/r$ の $B^s_{p,p} \to L^p_x L^r_t$ 評価になる。$p > 2$ の $\ell^p \le \ell^2$ とLittlewood–PaleyからSobolev入力でも成り立つ。ここで $a < p$ を選べる余地が、臨界対数評価から区別すべき点である。

Proof of (12.3) · p. 38　[LRS13, Corollary 1.2, p. 3]

9. どの論文が、どの段階を担うか

供給元と結果

Taoの微小損失除去定理

利用箇所

Corollary 9.3, p. 29

使用内容・必要な仮定

$1 < p_c' < 2$ の球面局所restrictionを、より小さい入力指数の大域restrictionへ移す

確認範囲

著者公開DVIのTheorem 1.2, p. 2と適用を照合。外部証明全体は未検証

供給元と結果

Kimのコンパクト曲面版

利用箇所

Corollary 12.1, p. 37

使用内容・必要な仮定

Fourier減衰を持つ滑らかなコンパクトpatchで $1 \le p \le q \le 2$。局所損失を任意に小さく取る

確認範囲

arXiv v2 Theorem 5.3, p. 10と適用を照合

供給元と結果

Lee–Rogers–Seegerの混合ノルム帰結

利用箇所

(12.3), p. 38

使用内容・必要な仮定

対角extension指数 $a < p$、$p \le r \le \infty$、正確なBesov次数

確認範囲

arXiv v2 Corollary 1.2, p. 3と指数代入を照合

供給元と結果

Gilbarg–Trudinger [GT01] の楕円型正則性

利用箇所

Theorem A.1, pp. 39–41

使用内容・必要な仮定

Theorems 6.14（誌面107頁）/6.19（111頁）で線形Dirichlet可逆性と高階正則性。17.14（461頁）/17.26′（481頁）で解のHessian範囲上の一様楕円性・凹性（456頁）から内部/境界 $C^{2,\alpha}$ 評価

確認範囲

初稿後の別担当が原書誌面と適用仮定を照合。周期商への有限チャートによる帰着も確認。GT証明と全境界計算の再検証ではない

[Tao99, Theorem 1.2, p. 2]　[Kim17, Theorem 5.3, p. 10]　[LRS13, Corollary 1.2, p. 3]

本稿の主証明は、第2論文 Critical local smoothing for the three-dimensional wave equation の評価を入力にしていない。074の三次元Kakeya最大関数原稿と四次元Hausdorff次元原稿はp. 27で比較として引用される。077の球面restriction原稿もp. 29の比較であり、そこから本稿の全次元主定理への依存矢印は作らない。Bochner–Rieszと平方関数のshell補題、円錐切片、管への無作為化は本稿内で証明を与えており、歴史的引用をそのまま独立の証明入力と数えていない。

Sections 9–9.1 · pp. 27–29

10. 原典を読む入口と確認範囲

- Theorem 1.2 · p. 4 — 主定理の定量的な核心と対数損失
- Proposition 4.2, Lemma 4.3 · pp. 16–18 — 不定符号の全行列式の相殺と境界flux
- Proposition 5.1, (5.11)–(5.12) · pp. 18–21 — 壁でのGaussian減衰と内部での波の回収
- Lemma 6.1, Proposition 6.3 · pp. 21–23 — 二つの円環通過が費やす二対数
- Sections 9.3–9.4, (9.6)–(9.7) · pp. 30–32 — 最大関数とHausdorff次元の接続を区別して読む
- Theorem 10.1 · p. 32 — 固定半径・最大関数・収束の異なる指数範囲
- Lemma 11.3, proof of Theorem 11.1 · pp. 35–36 — 半径を平方ノルム内でまとめる接続
- Corollary 12.1 · p. 37 — 放物面・臨界対数・正確な混合ノルムの三結論
- Section 4.2, Theorem A.1 · pp. 15, 38–41 — 周期fiberのDirichlet問題と、初稿後に入力条件を照合した外部正則性

Theorems 1.1/1.2、Corollaries 9.1/9.3/12.1、Theorems 10.1/11.1の主張と、§§2–7・9–12の上記帰着、Appendix AのDirichlet構成を読解した。Appendix Aで直接使うGT正則性定理の記述・適用仮定は、初稿後に別担当が原書誌面と照合し、初稿時の留保を解消した。保存流の座標変換、cofactorの全成分計算、GT定理自体の証明、Theorem A.1の全境界計算、Appendices B–Eの全証明は独立検証していない。Propositions 8.1–8.2は無損失端点との区別のため主張を確認し、前者の集束計算を読んだ。角度正則性を加えたAppendix B、二次元の線形Dirichlet法、一般の対称系、曲線族への派生結論は本記事の詳説対象外である。

079 / 02

Web版を読む ↗

CATALOGUE 079 · PAPER 02 / 2 概説

Critical local smoothing for the three-dimensional wave equation

円筒模型のエントロピー矛盾から、物理的初期面上の正則性と臨界 L^3 評価へ

本原稿は三次元ユークリッド半波動作用素の臨界評価を、波束の質量と多尺度の位相情報から導く。外部の平面入射評価と二次元波動のwave-envelope評価を円筒模型へ組み込み、薄い球面状配置をその模型へ移す。最後に初期面と終端波束を物理的な L^3 ノルムへ結び付ける。

原稿の著者: OpenAI · September 24, 2026 · 165 ページ（参考文献を含む）

GitHubで原稿を読む ↗

1. 主要結果

$Uf(x,t)=e^{it|D|}f(x)$、$J^s=(1-\Delta)^{s/2}$ とする。以下の定数は明記した指数には依存するが入力関数には依存しない。

Theorem 1.1 — 三次元の臨界局所平滑化

任意の $\varepsilon>0$ に対し有限な C_ε が存在し、すべての $f\in\mathcal{S}(\mathbb{R}^3)$ に対して

$$\|Uf\|_{L^3(\mathbb{R}^3\times[1,2])}\le C_\varepsilon\|J^\varepsilon f\|_{L^3(\mathbb{R}^3)}.$$

損失ゼロの $\varepsilon=0$ はこの主張に含まれない。

Theorem 1.1 · p. 1

Corollary 10.6 — 全ての正則性の厳密範囲

$2<p<\infty$、$\alpha>\max\{0,1-3/p\}$ なら、すべてのSchwartz関数について

$$\|Uf\|_{L^p(\mathbb{R}^3\times[1,2])}\le C_{p,\alpha}\|J^\alpha f\|_{L^p(\mathbb{R}^3)}.$$

Corollary 10.6 · p. 158

Corollary 10.7 — 最大半波動と初期値への概収束

$3 \le p < \infty$、$s > 1 - 2/p$ とする。Schwartz関数について

$$\left\| \sup_{0<t<1} |Uf(\cdot,t)| \right\|_p \le C_{p,s} \|J^s f\|_p .$$

この族は $W^{s,p}(\mathbb{R}^3) = \{ f \in \mathcal{S}' : J^s f \in L^p \}$ へ有界な最大作用素として拡張され、その拡張では全ての $f \in W^{s,p}$ に対し $Uf(x,t) \to f(x)$ が $t \downarrow 0$ でほとんど至る所成立する。

Corollary 10.7 · p. 160

Theorem 11.1 — 最大Bochner–Riesz評価と概収束

B_R^δ を乗数 $(1 - |\xi|^2/R^2)_+^\delta$ の作用素、$B_*^\delta f = \sup_{R>0} |B_R^\delta f|$ とする。$3 \le p < \infty$、$\delta > 1 - 3/p$ なら

$$\|B_*^\delta f\|_p \le C_{p,\delta} \|f\|_p \qquad (f \in \mathcal{S}(\mathbb{R}^3)).$$

有界な最大拡張を L^p 上に持ち、全ての $f \in L^p$ に対し $B_R^\delta f \to f$ が $R \to \infty$ でほとんど至る所成立する。特に $p = 3$ では任意の $\delta > 0$ を許す。

Theorem 11.1 · pp. 160–161

Corollary 11.2 — 非最大Bochner–Riesz評価の全厳密範囲

$1 \le p \le \infty$、$1/\infty = 0$ とし、

$$\delta_{\mathrm{BR}}(p) = \max\{ 3|1/p - 1/2| - 1/2, 0 \}.$$

$\delta > \delta_{\mathrm{BR}}(p)$ なら B_R^δ は $L^p(\mathbb{R}^3)$ 上に有界に拡張され、

$$\|B_R^\delta f\|_p \le C_{p,\delta} \|f\|_p \qquad (R > 0)$$

が半径によらず成立する。続く証明では $p < \infty$ のときの L^p 収束も導く。この指数範囲は個々の線形作用素に対するもので、Theorem 11.1の最大評価の範囲を広げるものではない。

Corollary 11.2 and proof · pp. 161–162

図の矢印に付した引用

略号のない定理・補題・節・式番号は本原稿 Critical local smoothing for the three-dimensional wave equation を指します。外部入力には次の略号を使います。

- GWZ20 Larry Guth, Hong Wang, and Ruixiang Zhang — A sharp square function estimate for the cone in R3：円錐のwave-envelope評価を本稿でHilbert値・重み付きに拡張し、円筒模型のkinetic評価と角度記憶へ使う。Annals of Mathematics 192 (2020), 551–581。
- RW25 Kevin Ren and Hong Wang — Furstenberg sets estimate in the plane：離散平面Furstenberg評価を確率版へ移し、零コスト排除と条件付き入射・射影に使う。arXiv:2308.08819v3, January 19, 2025。
- BHS19 David Beltran, Jonathan Hickman, and Christopher D. Sogge — Sharp local smoothing estimates for Fourier integral operators：局所平滑化から最大半波動および線形・最大Bochner–Riesz評価への含意。arXiv:1812.11616v2, September 5, 2019。

各引用に結果番号とページを付します。誌面番号とPDF内の位置が異なる場合は両方を示します。GitHubの閲覧リンクではページ位置への自動移動を前提としません。

2. Theorem 1.1 の証明 — 模型評価を物理的な波へ戻す

証明対象：Theorem 1.1 · p. 1

証明の道筋。 円筒模型の評価を球面状模型へ移し、周波数 $|\xi| \asymp H^{-1}$ ごとの評価を得る。模型の初期正則性と終端質量からの合成は別々に確認する必要がある。最後に正のSobolev損失を使って周波数を総和する。



臨界評価への物理的接続

図を拡大 ↗　TeXソース ↓

1. 初期面で正則性を証明する

負符号の半波動 $Wg(x,\tau) = e^{-i\tau|D|} g(x)$ を有限個の角チャートと有界な空間領域へ局所化する。null 座標

$$t = \tau + x_3, \quad b = (x_1, x_2), \quad y = \tau - x_3, \qquad \rho = (|\xi| + \xi_3)/2, \quad A = \xi_\perp/(2\rho)$$

では速度が $(A, |A|^2)$ となるが、元の初期面は $y = -t$ であり $t = 0$ ではない。Lemma 10.2の一様な核切断により、正則性試験に到達する初期点集合 E に入力を制限できる。Lemma 10.3はその体積を $C\Lambda^{C_1} r^4 f^{1-\eta}$ で抑える。ここで f は試験の相対厚さであり入力関数ではない。非球面試験にも制限多項式の勾配下界を示すことが重要である。

$B = \|g\|_\infty$、$e \lesssim \|g\|_2^2$ とすると、Proposition 10.4は任意の $\gamma > 0$ に対して初期正則性定数 $\kappa = C_{\eta,\gamma} H^{-\gamma} B^2$ を与える。これは模型の仮定を元のデータから供給する段階である。

Lemmas 10.2–10.3; Proposition 10.4 · pp. 153–156

2. 終端質量の三乗和を合成する

時間長 H の終端区間と空間 H-立方体に割り当てたエネルギーを $m_{j,Q}$ とする。試験の重みは定数と同程度で、同一区間の割当て総和は行エネルギー以下である。Lemma 10.5とTheorem 9.1より、任意に小さい正数 σ,ζ に対して

$$\int |v|^3 \lesssim H^{-C_4\sigma} H^{-1/2} \sum_{j,Q} m_{j,Q}^{3/2} + \text{微小誤差}, \quad H^{-1/2}\sum_{j,Q} m_{j,Q}^{3/2} \lesssim H^{-100\eta-\zeta} e\sqrt{\kappa}.$$

したがって局所的な三乗ノルムは

$$\int |v|^3 \lesssim H^{-100\eta-\zeta-\gamma/2-C_4\sigma} B \|g\|_2^2.$$

まず損失を指定し、その後に η,ζ,γ,σ を小さく選ぶ。子時間区間へエネルギーは複製されるため、それらを互いに直交する入力片として数えない。

Lemma 10.5; (10.22)–(10.23) · pp. 156–157

3. 振幅分解と周波数総和

入力を空間・振幅の二進分解にかける。各振幅片では $B_\nu \|g_\nu\|_2^2 \le 2\|g_\nu\|_3^3$ となり、片数の対数損失を任意の正のべき損失へ吸収する。これにより滑らかな固定環状帯の乗数族について一様に

$$\|W_H g\|_{L^3_{x,\tau}} \le C_\delta H^{-\delta} \|g\|_3 \qquad (\delta>0)$$

を得る（Proposition 10.1）。$h = J^\varepsilon f$、$H=2^{-n}$、$\delta=\varepsilon/2$ とし、環状乗数へ $J^{-\varepsilon}$ を入れると各項は $2^{-n\varepsilon/2}\|h\|_3$ で総和できる。低周波は一様な L^1 核評価、正符号への変更は複素共役で処理する。

Proposition 10.1 and proof; §10.5 · pp. 152, 157–158

3. Theorem 3.6 の証明 — 円筒模型の余剰エントロピー

証明対象：Theorem 3.6 · p. 18

Theorem 3.6 — 円筒模型の成長指数

Definitions 3.1–3.3の古典・hybrid円筒実験を考える。古典模型の速度は (X, X^2, N)。hybrid模型は基底の放物線方向を古典的に保持し、法線方向に一次元Schrödinger発展を残す。試験は多項式shearを引いた位置・速度窓を持ち、重みは $w = r^{3+\eta} f^{1-\eta}$、$0 < \eta < 1$。角幅 $r > 0$、法線幅 $f > 0$ とし、hybridでは $f \geq (H/\ell)^{1/2}$ を課す。初期質量 $e > 0$、初期正則性 $\mu(Q) \leq \kappa w(Q)$ を課し、終端長 s の各区間で試験へ質量 m_λ を割り当てる。割当ては同一区間の行エネルギーを超えない。

$$B_s = \frac{s^{-1/2}}{e\sqrt{\kappa}} \sum_{\lambda} \frac{m_\lambda^{3/2}}{\sqrt{w_\lambda}}.$$

有限個の作用素切断、固定された多項式支持・密度・微小誤差の条件の下で、全許容setupにわたる B_s の上側 $\log_{1/s}$ 成長指数は

$$\Gamma_{\mathrm{cl}} \leq \eta/2, \qquad \Gamma_{\mathrm{hyb}} \leq \eta/2.$$

setup、切断数、誤差許容量を固定してから内側の尺度極限を取る。

Definitions 3.1–3.3; Theorem 3.6 · pp. 14–18



円筒模型の極値配置とエントロピー矛盾

図を拡大 ↗ TeXソース ↓

1. 極値を保つ分割からshearの整合性を得る

許容値を超える成長を仮定する。Propositions 3.9–3.10は、極値指数を保持する通常の正則化分割ではエネルギー予算と正則性予算が指数の段階で飽和することを示す。そこから異なる切断の試験のshear係数を比較し、最小shearコストを選ぶ。Proposition 3.16は短い深度区間への制限と再正規化により、幅の指数を $u(i) = J(1-i)$ とアフィンな法線幅へ帰着する。単に各深度で大きい質量だけを選ぶのでなく、後の有限記録が過去の座標系を復元できる整合性を保持する。

Propositions 3.9–3.10, 3.16 · pp. 19–21, 28–30

2. 外部入力は零コスト配置を排除し、条件付き射影を供給する

[GWZ20]のwave-envelope定理は円錐近傍のスカラー関数を扱う。Theorem 4.1はGaussian平均によってHilbert値版へ、タイルの総和によって重み付き版へ拡張する。Lemma 4.2の放物線軌道評価とProposition 4.3の角度記憶評価を経て、Proposition 4.6で古典指数を真に超えるhybrid零コスト配置を排除する。

[RW25]の離散Furstenberg定理はTheorem 4.7で点・直線双対性と標本抽出を用いて確率測度版へ移される。直線族の非集中指数 b、各直線上の指数 a に対し、和集合の被覆指数

$$F(a,b)=a+\min\{1,b,(a+b)/2\}$$

を供給する。この入力はProposition 4.11の古典零コスト排除と、後の条件付き入射・射影評価に使う。確率版やHilbert値版そのものを外部論文の主張として引用しない。

[GWZ20, Theorem 1.3, 誌面 p. 554 / PDF p. 4]

[RW25, Theorem 4.1, p. 9]

Theorem 4.1; Propositions 4.6, 4.11; Theorem 4.7 · pp. 36, 43, 50–51, 56–58

3. 同一の有限位相記録に対する非負性と減少を衝突させる

Definition 5.2の $C(a,v)$ は、時間深度 a、角度解像度 v における時刻、shear係数、基底位置・方向、shearを差し引いた法線位相の二進セルを記録する。正規化エントロピー $\mathcal{H}(a,v)$ から初期比 $D_0=\lim \log_{1/s}(e/\kappa)$、飽和質量の基準 $(p_0+d)a$、試験重みの指数 $W(a,v)$ を引くと

$$\mathcal{E}(a,v)=\mathcal{H}(a,v)-D_0-(p_0+d)a-W(a,v)\geq 0.$$

ここで p_0 は原稿の質量指数 p で、L^p の指数と区別した。Proposition 5.4は指定された終端・境界でのみ等号を与える。hybridで使う領域は法線幅指数 $w<0$ に制限され、任意の解像度で境界等号を仮定しない。

§6の局所不等式をProposition 6.12の許容移動方向へまとめ、§7で等号境界から逆向きの経路を構成する。経路は各不等式の成立領域に留まり、正の減少量が $\mathcal{E}\geq 0$ と矛盾する。単位コスト境界、角度エントロピーが増えない区間、二次・一次shearの分岐は別に処理する。この概説ではその全場合分けの独立検証までは行っていない。

Definition 5.2; Proposition 5.4 · pp. 60–62

Proposition 6.12; proof of Theorem 3.6 · pp. 99–100, 115–117

4. Theorem 9.1 の証明 — 薄い配置の移送と残る球面状配置

証明対象：Theorem 9.1 · p. 133

Theorem 9.1 — round-cone模型の成長指数

Definitions 8.1–8.2の速度 $(A, |A|^2)$、$A \in \mathbb{R}^2$ の古典・波動実験を考える。時間長 ℓ の試験は角幅 r、位置幅 $\ell r, \ell r^2$ を持ち、二次超曲面への相対厚さ $0 < f \le 1$ を許す。波動の場合は不確定性条件 $rf \ge (H/\ell)^{1/2}$ を課す。重み $w = r^4 f^{1-\eta}$ と初期正則性を用い、前節と同じ B_s を定める。

全ての $0 < \eta < 1$ に対して

$$\Gamma_{\mathrm{cl,round}} \le 100\eta, \qquad \Gamma_{\mathrm{wav,round}} \le 100\eta.$$

この上限は固定有限個の許容行収縮、任意の可分Hilbert多重度、および模型の有限べき支持・誤差規約の下でも成立する。

Definitions 8.1–8.2; Theorem 9.1 · pp. 117–118, 133



薄い配置と球面状配置の分岐

図を拡大 ↗　TeXソース ↓

1. 薄い終端を円筒へ移す

Proposition 8.8は終端厚さが正の極限指数を持つ飽和配置を円筒へ帰着する。古典なら $\Gamma \le \Gamma_{\mathrm{cl}}$、波動なら $\Gamma \le \max\{\Gamma_{\mathrm{cl}}, \Gamma_{\mathrm{hyb}}\}$ である。共通の二次超曲面の近くで試験をまとめ、共形チャートで平坦化し、入力正則性と終端容量の両方を移す。細かい基底変数を凍結しても法線方向の量子的発展は残す必要があり、これがhybrid模型を用意した理由である。法線再尺度化の重みを帳尻合わせせず、Lemma 8.13の入力・出力重みの対応で相殺する。

Proposition 8.8; Lemmas 8.11, 8.13–8.14 · pp. 123, 126–127, 129–132

2. 残る配置に角度の横断性を作る

Theorem 3.6で薄い配置を除くと、飽和配置の終端厚さは $f = s^{o(1)}$ に限られる。古典の場合を先に閉じ、その指数を真に超える波動配置ではProposition 9.3から角幅が不確定性尺度に固定される。Proposition 9.5の平面スラブ評価とLemma 9.11により条件付きの平面集中を排除する。Proposition 9.8は位相記録のエントロピー余剰を非負、かつ境界 $v = (1-a)/2$ で零とする。

Propositions 9.3, 9.5, 9.8; Lemma 9.11 · pp. 135–138, 142–145

3. 出射エントロピーの二方向降下

Proposition 9.15は時間の非集中と横断的な角度標本を用い、出射エントロピー率に

$$o_T \ge 4d + \min\{1-d, m/2\}$$

を与える。四つの横断的方向が $4d$ を供給し、条件付き平面入射評価が残る改善を供給する。古典では積分した下界 $D(1,0) \ge 1 + 3d$ が終端上界 $D(1,0) \le 1 + 3d - 2\Gamma$ と矛盾する。

波動では $t = 1-a$、$q = 2-2d$ とおくと

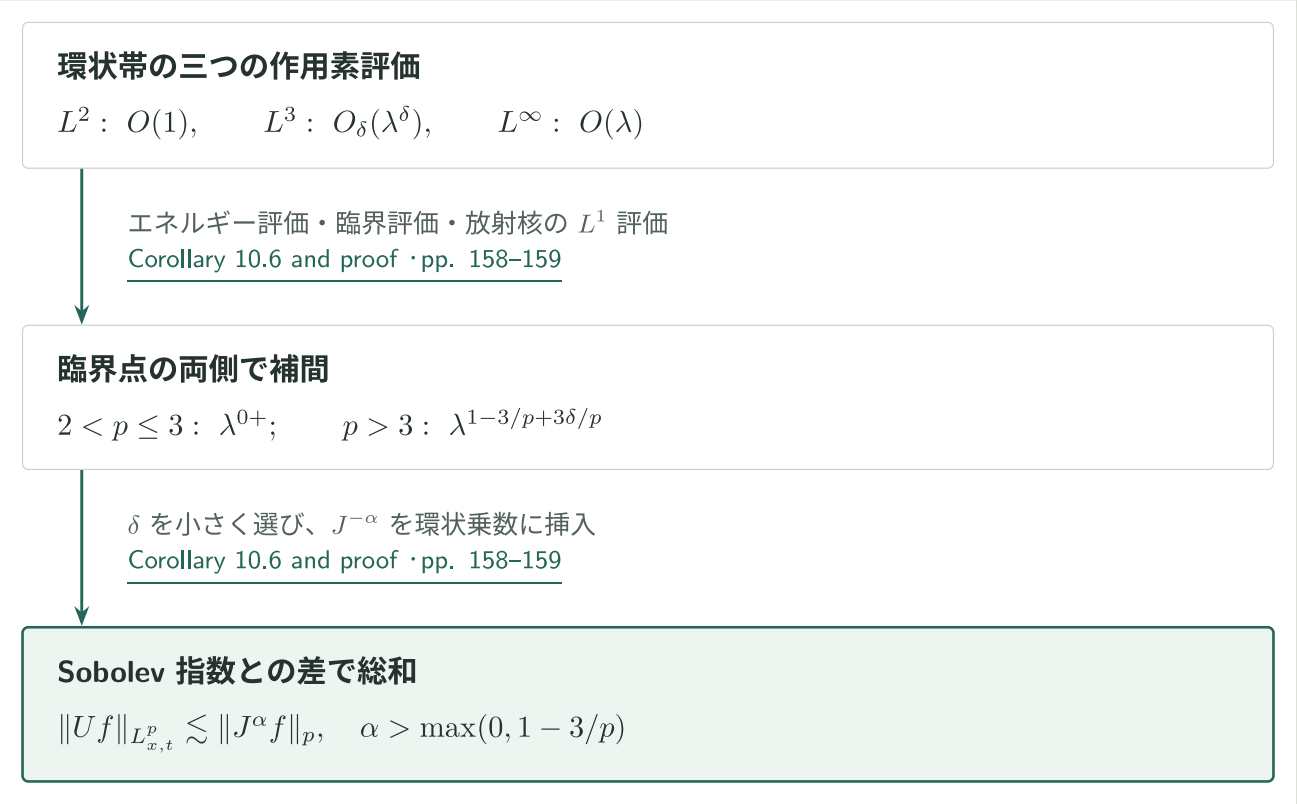
$$\mathcal{E}_t + \tfrac{1}{2}\mathcal{E}_v \le -2\Gamma \quad (m \le q), \qquad \mathcal{E}_t \le -2\Gamma \quad (m \ge q).$$

m の固定 v における t-単調性により、一方の方向から他方へ切り替えても負の減少を失わない。Lemma 9.16が非負性と境界の零値との矛盾を与える。これでTheorem 1.1へ渡す 100η の模型損失が得られる。

Proposition 9.15; Lemma 9.16; proof of Theorem 9.1 · pp. 148–151

5. Corollary 10.6 の証明 — L^2, L^3, L^∞ の補間

証明対象：Corollary 10.6 · p. 158



他の指数への補間と総和

図を拡大 ↗　TeXソース ↓

1. 環状帯上で補間し、厳密不等式で総和する

周波数 $\lambda \ge 1$ の滑らかな環状射影を P_λ とすると、作用素ノルムは $L^2 \to L^2_{x,t}$ で $O(1)$、$L^3 \to L^3_{x,t}$ で $O_\delta(\lambda^\delta)$、$L^\infty \to L^\infty_{x,t}$ で $O(\lambda)$。最後の評価は三次元放射核を積分した L^1 ノルムから得る。

$2<p\le 3$ では任意の小さい正のべき、$p>3$ では $\lambda^{1-3/p+3\delta/p}$ となる。指数が α より小さくなるように δ を選び、$J^{-\alpha}$ を挿入して幾何級数を総和する。付記された波動方程式の独立な初期変位・初期速度に対する評価は、二つの符号と次数 -1 の速度乗数から

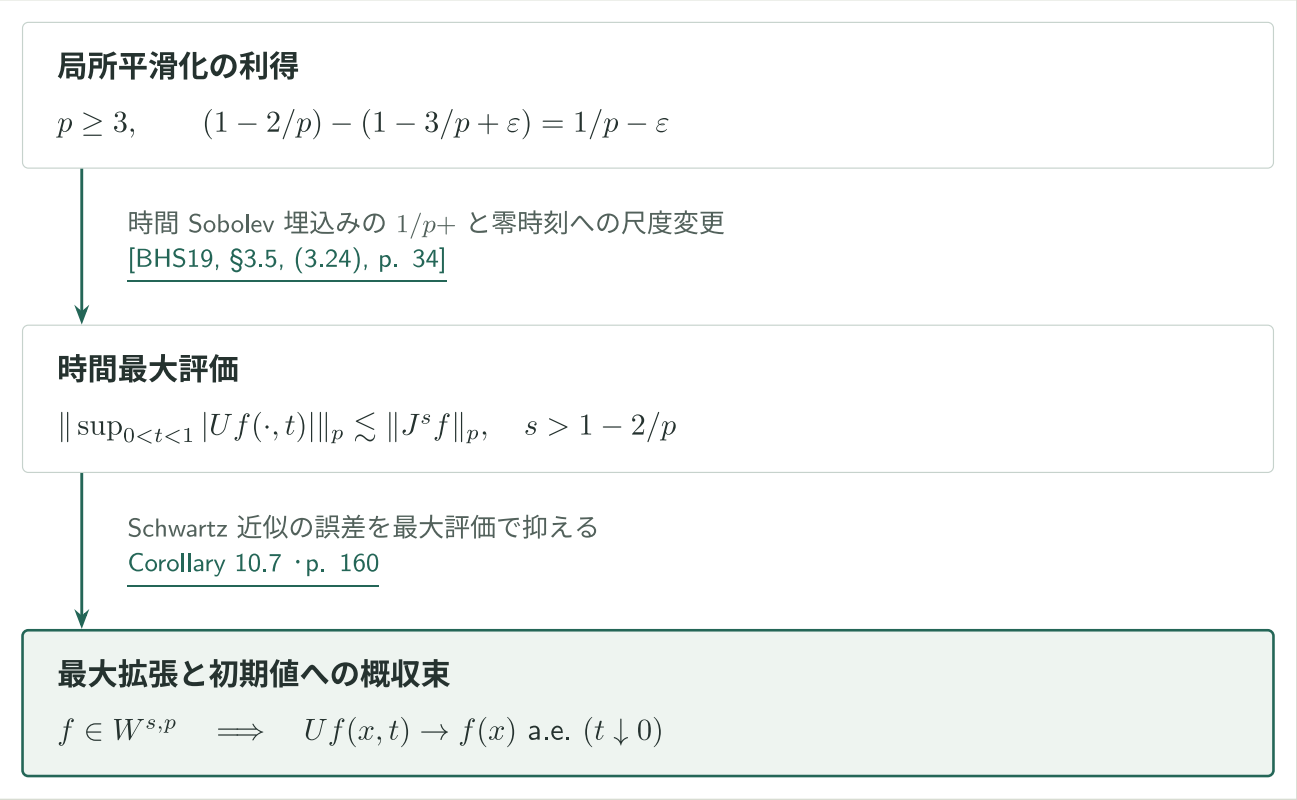
$$\|u\|_{L^p_{x,t}} \lesssim \|J^\alpha u_0\|_p + \|J^{\alpha-1}u_1\|_p$$

となる。低周波では $\sin(t|\xi|)/|\xi|$ を一体で扱う。

Corollary 10.6 and proof · pp. 158–159

6. Corollary 10.7 の証明 — 時間Sobolev埋込みと稠密性

証明対象：Corollary 10.7 · p. 160



最大半波動と初期値への収束

図を拡大 ↗　TeXソース ↓

1. 時間最大を取り、近似誤差を制御する

$p \geq 3$ では固定時刻の損失 $1-2/p$ に比べて $1/p-$ の平滑化が得られた。[BHS19, §3.5, (3.24)]の含意は時間Sobolev埋込みの $1/p+$ の費用と尺度変更を組み合わせ、$s>1-2/p$ で $0<t<1$ の最大評価を与える。これは同論文の既知の指数範囲をそのまま引用するのではなく、含意の仮定をCorollary 10.6で満たす適用である。

Schwartz入力では $t \downarrow 0$ の一様収束が成立する。$W^{s,p}$ でSchwartz近似を取り、最大評価とChebyshevの不等式で近似誤差の上極限集合の測度を零にする。臨界 $p=3$ の最大結論は $s>1/3$ を要求し、時空間評価の任意の正の損失と区別する。

[BHS19, §3.5, (3.24), p. 34]

Corollary 10.7 · p. 160

7. Theorem 11.1 の証明 — 局所平滑化から最大Bochner–Rieszへ

証明対象：Theorem 11.1 · pp. 160–161



最大Bochner–Riesz評価への直接入力

図を拡大 ↗　TeXソース ↓

1. 外部命題の閾値と乗数の規約を合わせる

[BHS19, Proposition 3.3]の仮定は $p \geq 2n/(n-1)$ での $1/p-$ 局所平滑化である。$n=3$、$p\geq 3$ とするとCorollary 10.6がこれを満たし、必要な次数は $\delta > 1-3/p$ となる。外部命題の乗数 $(1-|\xi|/R)_+^\delta$ と本稿の二乗半径の規約は、境界近傍の滑らかな因子 $(1+|\xi|/R)^\delta$ と内部の滑らかな剰余で結び付く。そのSchwartz核とHardy–Littlewood最大作用素を使い、全半径の最大評価も移せる。

[BHS19, Proposition 3.3, p. 28]

Proof of Theorem 11.1 · p. 161

2. 最大拡張とほとんど至る所の総和

Schwartz関数への近似列を L^p 差のノルムが総和可能になるように取る。差の最大作用素も L^p で総和できるので、ほとんど全ての点で全半径に一様な拡張を定義できる。その上で

$$\limsup_{R\to\infty} |B_R^\delta f - f| \leq B_*^\delta(f-g) + |f-g|$$

を用い、Schwartz入力 g の収束を任意の L^p 入力へ移す。入力にSobolev正則性を課す必要はない。

Proof of Theorem 11.1 · p. 161

8. Corollary 11.2 の証明 — 線形作用素の補間・双対性

証明対象：Corollary 11.2 and proof · pp. 161–162



非最大Bochner–Riesz評価の全指数

図を拡大 ↗　TeXソース ↓

1. 指数範囲とノルム収束を閉じる

[BHS19, Proposition 3.2]と同じ滑らかな因子の移送により、$3 \le p < \infty$、$\delta > 1 - 3/p$ の線形評価を得る。固定した $\delta > 0$ で $p = 3$ とPlancherelを補間して $2 \le p \le 3$ を埋め、実かつ偶な乗数の双対性で $1 < p < 2$ へ移る。端点 $p = 1, \infty$ は $\delta > 1$ で核の減衰 $(1 + |x|)^{-2-\delta}$ が可積分になることから従う。拡大で半径に一様な定数を得る。

$p < \infty$ の L^p 収束は、Fourier支持がコンパクトなSchwartz関数で先に示し、一様な線形作用素ノルムと稠密性で拡張する。最大作用素にこの双対性を適用してはいない。

[BHS19, Proposition 3.2, p. 27]

Corollary 11.2 and proof · pp. 161–162

9. どの論文が、どの段階を担うか

供給元と結果

Guth–Wang–Zhang, Theorem 1.3

利用箇所

Theorem 4.1、Lemmas 4.2–4.4、Proposition 4.6

使用内容・必要な仮定

円錐近傍のwave-envelope評価からHilbert値・重み付き評価と円筒の角度記憶へ

確認範囲

外部主張と本稿の拡張・使用経路を照合。外部全証明は対象外

供給元と結果

Ren–Wang, Theorem 4.1

利用箇所

Theorem 4.7、§§4.5、5–6、Proposition 9.15

使用内容・必要な仮定

非集中する点・直線配置の被覆下界を条件付き入射へ

確認範囲

外部主張、確率版への移行、核心での使用箇所を照合。全条件付き補題の独立検証は未実施

供給元と結果

Beltran–Hickman–Sogge, §3.5 (3.24)、Propositions 3.2–3.3

利用箇所

Corollary 10.7、Theorem 11.1、Corollary 11.2

使用内容・必要な仮定

$1/p-$ 局所平滑化を最大半波動・線形／最大BRへ

確認範囲

指数条件と乗数の規約変更を照合

カタログ078の Bochner–Riesz multipliers in three dimensions はp.162で同じ非最大範囲を得る別証明として引用され、この導出の入力ではない。カタログ074の二論文への直接引用は本稿の参考文献では確認していない。§11.1は別の外部連鎖で球面restrictionとKakeya最大評価を導く。

Corollary 11.2, final paragraph; §11.1 · p. 162

10. 原典を読む入口と確認範囲

- Definitions 3.1–3.3; Theorem 3.6 · pp. 14–18 — 円筒実験の正則性・割当て・成長指数
- Definition 5.2; Proposition 5.4 · pp. 60–62 — shearを記録した位相名と境界回復
- Proposition 8.8; Lemmas 8.11, 8.13–8.14 · pp. 123, 126–127, 129–132 — 薄い配置を円筒へ移す帰着
- Proposition 9.15; Lemma 9.16; proof of Theorem 9.1 · pp. 148–151 — 出射エントロピーと二方向の最終矛盾
- Lemmas 10.2–10.3; Proposition 10.4 · pp. 153–156 — 元の初期面での正則性
- Proposition 10.1 and proof; §10.5 · pp. 152, 157–158 — 環状評価からSobolev総和へ
- Corollary 10.6 and proof · pp. 158–159 — 他の指数と独立な初期データ
- Corollary 10.7 · p. 160 — 時間最大と初期値への収束
- Corollary 11.2 and proof · pp. 161–162 — 最大・非最大BRの範囲の区別

主張、模型の定義、極値配置・位相記録・エントロピー終端条件、薄い配置の帰着、round模型の最終矛盾、物理初期面の正則性、周波数総和と番号付きの帰結の証明を重点的に読んだ。直接定量入力のGWZ・Ren–Wangと、最大作用素へのBHSの記述・適用条件を照合した。これは165頁の全補題・全場合分けの独立検証ではない。特に§§5–7の条件付き情報量の移送と境界経路、§8の共形移送の全誤差計算は確認を限定している。

§11.1（p.162）の球面restriction・Kakeya最大評価・コンパクトKakeya集合の次元の帰結は原稿内の導出を読んだが、TaoおよびWolffの外部含意の原典照合は本概説の範囲外とした。上記の番号付き結果の証明と、この追加連鎖の確認状態を区別する。専門家査読や証明全体の正しさの認定を行ったものではない。